

이산 웨이블릿 분석과 신경망을 이용한 변압기 열화의 진단

Diagnosis of Transform Aging using Discrete Wavelet Analysis and Neural Network

* 박재준, * 윤만영, * 오승현, * 김진승, ** 김성홍, *** 백관현, **** 송영철, ***** 권동진
(Jae-Jun Park, Man-Young Yon, Seung-Heon Oh, Jin-Seong Kim, Kwan-Hyun Beak,
Young-Chul Song, Dong-Jin Kweon)

Abstract

The discrete wavelet transform is utilized as preprocessing of neural network(NN) to identifying aging state of internal partial discharge in transformer. The discrete wavelet transform is used to produce wavelet coefficients which are used for classification. The mean values of the wavelet coefficients are input into an back-propagation neural network. The networks, after training, can decide if the test signals is aging early state or aging last state, or normal state.

Key Wards(중요용어) : Acoustic Emission Signals, Discrete Wavelet Transform, Feature Extraction, Multi-Decomposition, Neural-Network

1) | . 서론

최근 전기 기기의 고전압, 대용량화됨으로 하여 안정적이고 효율이 좋은 전력의 공급이 절실히 요구되고 있다. 이에 따라 전력 기기인 변압기나 전력 케이블을 비롯한 전력 계통과 절연 시스템에 있어서 절연 성능의 향상을 위한 중요성이 어느 때 보다 높다 하겠다. 전력의 대용량화는 절연시스템의 열화와 결합을 가져오게 되는 주요한 원인이 된다. 절연시스템의 약화를 가져오게 되면 곧바로 부분 방전이 발생되어 곧 전로 파괴에 이르게 된다. 이런 변압기와 같은 전력기기가 절연 파괴에 이른다면 상상을 초월한 대 혼란과 손실이 막대하리라고 생각한다.

한 예로서 금년 여의도 지하 전력 구에서 전력 사고는 국가의 정보망 및 재산상의 피해를 보여주는 좋은 예가 될 수 있다고 할 것이다. 본 연구에서는, 변압기의 현재 열화상태를 진단하기 위해서 고전적인 역전파의 알고리즘을 이용하여 신경망(Neural Network)입력을 위한 전처리(Preprocessing)과정으로서 이산 웨이블릿 변환기법을 이용하게 되었다. 열화초기, 열화말기, 정상상태 들의 신호를 이산 웨이블릿 과정을 통하여 발생된 웨이블릿 계수를 이용한 특징추출로서 통계적 파라미터인 웨이블릿계수의 최대값, 평균값, 분산, 왜도(skewness), 첨쇄도(Kurtosis)의 정보를 얻을 수가 있다. 본 연구에서는 이산웨이블릿를 전처리 과정으로 추출된 특징으로서 왜도와 첨쇄도를 이용하여 신경망의 입력자료로 이용된다. 열화초기, 열화말기, 정상신호들 각각에 대한 전 처리 과정으로 이산웨이블릿 변환 레벨-3(스케일4)을 통하여 16384포인트 중 2048포인트에 해당된 Zero Cross의 Positive 값을 이용하여 통계적인 파라미터인 왜도와 첨쇄도를 구하여 그 두개의 자료가 신경망에 입력으로 이루어진다. 출력의 결과는 열화초기일 때 0, 열화말기일 때 0.5, 정상신

* 중부대학교 정보공학부
(충남 금산군 추부면 중부대학교,
Fax: 0412-750-6751
E-mail : jjpark@joongbu.ac.kr)
** 순천청암대학 전기설비과
*** 두원공과대학 전기과
**** 광운대학교 전기공학과
***** 한전전력연구원

호 일 때 1로 Sum of Square Error(SSE)목표는 최대의 인식률을 갖도록 한다.

II. 실험방법 및 디지털 신호처리 과정

1. Data acquisition System

Data Acquisition System은 Digital Oscilloscope을 이용하게 되면 real time으로 data를 pc로 전송받기 어려운 점이 많기 때문에 본 연구에 적합한 A/D Converter를 설정하였습니다. ULTRAVIEW에서 생산된 12bit A/D board로서 80MHZ/Dual 40MHZ를 처리할 수 있으며, 최대 80MS/S 샘플링을 가지고 있으며 2-Channel로 구성되었으며, 차폐된 동축 케이블 (Shield coaxial cable)을 통하여 음향센서로부터 신호가 A/D보드로 입력되도록 구성하였습니다. 본 연구에서는 위상각을 고려하지 않은 단일AE 채널만을 이용하여 4Mbyte A/D보드의 버퍼메모리를 갖는 PCI버스방식을 가지고 있다. Sampling Rate는 체적의 상태라고 생각되는 8MS/S을 유지하였으며, 4M byte를 실시간 data를 획득하는데 걸리는 시간은 125[ms]= 0.125[s]이었다. 9분 동안 데이터를 획득하고 1분 동안의 휴지시간을 두고 절연 파괴시 까지 연속적으로 계측을 실시하였다. 4M byte의 정보는 2진 정보로 되어 있으므로 Visual C++ 6.0으로 Interface 프로그램을 작성하여 10진 형식으로 코드 변환을 실시하였다. 동시에 4 M byte의 데이터를 나타낼 수 없으므로 EXCEL창에서 쉽게 나타낼 수 있도록 하기 위해서 64등분하는 프로그램을 작성하여 파일로 분류 선별하였다. 한 file내의 신호 point수는 16384개의 Point를 가지게 되므로 한 파일동안 데이터를 획득하는데 소요되는 시간은 1.95[ms]이었다. 음향방출신호의 한 point동안의 시간은 0.12[s]가 된다.

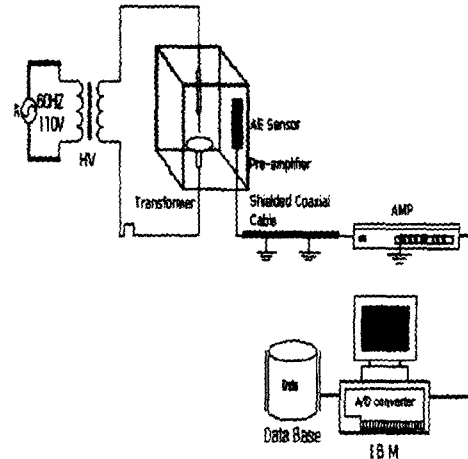


그림 1. Data acquisition system set up

2. pre-Processing procedure

(1) 필터계수

이산웨이블렛 변환에 이용된 저주파, 고주파의 필터계수를 나타내고있다.

DaubechiesMother Filter Coefficients	
저주파	0.26749f, -.016864f, -.078233f, .266864f, .602949f, .266864f, -.078233f, -.016864f, .026749f
고주파	0.000f, -.045636f, .028772f, .295636f, -.557543f, .295636f, .028772f, -.045636f, 0.00f

표 1. Daubechies마더 웨이블렛의 필터계수

(2) 다중해상도 웨이블렛 변환

(multi-resolution Wavelet Transform)

이산 웨이블렛의 확장으로 직교벡터공간에서 웨이블렛 함수를 변화시킴에 따라서 다양한 크기의 해상도로 신호 x(t)에 포함되어 있는 성분들을 분석할 수 있게 된다. 이를 위해 다중 해상도 신호 분할 알고리즘이 소개되었으며, 이는 신호성분을 단계별로 더욱 세밀하게 표현하는 웨이블렛을 만들어서 적용하는 과정을 거치게 된다. 다시 말해 2만클 확장된 식

(1)

$$W_{\nu} f(a, b) = \frac{1}{\sqrt{|a|}} \int f(t) \Psi^* \left(\frac{t-b}{a} \right) dt \quad (1)$$

에 있는 이산 웨이블릿 $\sqrt{2^{-j}}$ 로 $\sqrt{2^{-j}}$ 로 정규화 함으로써, 정규화 함으로써, 함수를 $\Psi 2^j(t)$ 를 시간 축에 대해 $2^{-j}n$ 천이시키고, 함수 $\Psi 2^j(t)$ 를 시간 축에 대해 $2^{-j}n$ 천이 시키고,

$$\sqrt{2^{-j}} \Psi_2(t - 2^{-j}n) \quad (2)$$

웨이블릿이 구성된다. 다중 해상도 웨이블릿 변환 (multiresolution Wavelet Transform)은 웨이블릿 함수를 정규 직교기저에 적용함으로써 주어진 함수 특성을 분해하여 나타내는 알고리즘이라 할 수 있다. 웨이블릿은 고주파와 저주파를 단계별로 분리 적용하여 level-1, level-2 등으로 분해하여간다. 그 역의 과정을 합성 즉, 역 웨이블릿(IDWT)이라고 한다. 이산 웨이블릿의 과정 및 그 역의 과정을 그림2에서 나타내고있다.

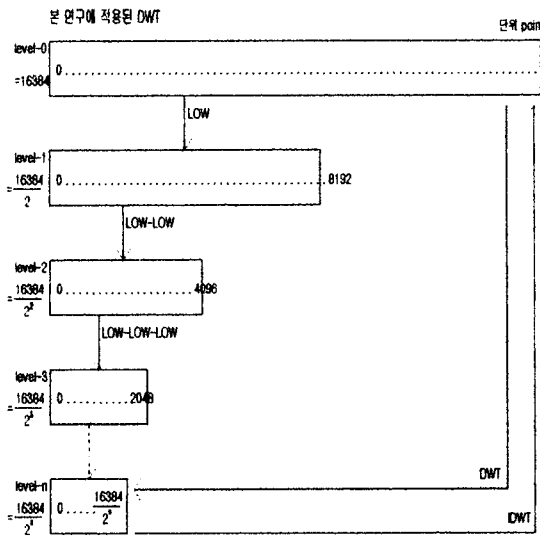


그림2. 본 연구에 적용된 신호의 이산웨이블릿의 분해 및 합성과정

그림2에서 볼 수 있듯이 고주파성분과 저주파성분이 적절히 분해되고 있음을 볼 수 있으며, 분리된 에너지는 웨이블릿 변환레벨을 증가시킴에 따라 저주파 쪽으로 에너지가 집중되어 가는 과정을 볼 수 있다.

일반적으로 웨이블릿 변환을 적용했을 때 90[%]이상의 에너지성분이 저주파쪽으로 집중된다.

(3)자료처리의 흐름도

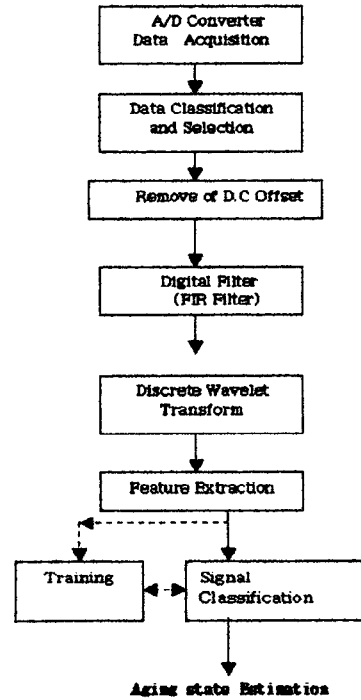


그림3.자료처리의 흐름도

III. 결과 및 검토

1. 디지털 필터

디지털 신호처리방법으로 연속적인 노이즈는 입력 신호로부터 예보자 연속 신호를 마이너스 한만큼 노이즈를 줄일 수 있다. 시간 영역에서 작용한 이런 예보 알고리즘이 노이즈의 통계적 특성으로 이용하고 있다. 이 유향방출신호에 자체 알고리즘하여 FIR 디지털필터를 이용한 결과를 나타내고있다. 그림 5의 경우는 부분방전장치에 전압을 인가하지 않은 상태 에 시스템에서 발생된 노이즈로서, 이런 노이즈를 랜덤노이즈로 가정하고 알고리즘을 적용한 결과 그림6과 처럼 상당한 정도의 노이즈가 제거된 상태를 볼 수가 있다.

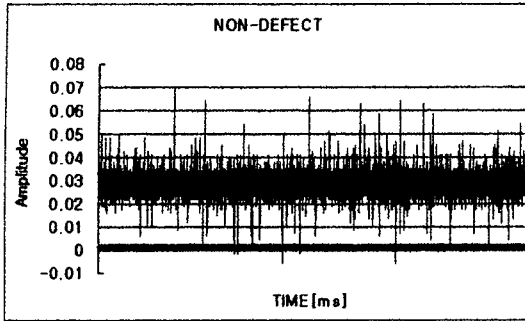


그림 4. 전압을 인가하지 않은 경우 시스템내의 랜덤노이즈 신호

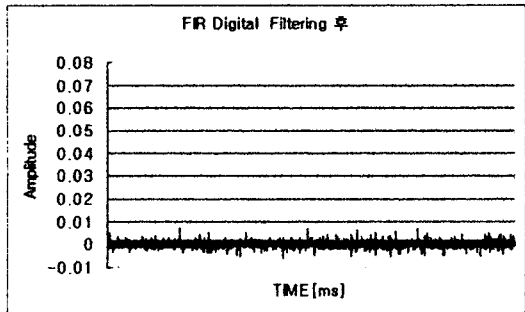


그림 5. FIR 디지털 필터링 후의 노이즈가 제거된 상태신호

2. 음향방출신호

부분방전시 발생된 음향방출신호의 전형적인 신호 파형을 그림 6에서 나타내었다. 신호의 포인트 수는 24576포인트로서 2.825[ms]의 시간동안 측정된 신호이다. 계측된 모든 음향방출신호의 전반적인 특징은 신호 전반부에서는 급상승하여 급강하되는 형태를 나타내고 있으며, 부분방전신호 원이 모의 변압기의 중앙에 위치하여 부분방전이 일어나면 음향의 전파에 의하여 다른 벽면에 부딪쳐 다시 반사 되어오게 되므로 이는 echo에 의하여 음향펄스의 파가 길어지고 있다고 사료된다.

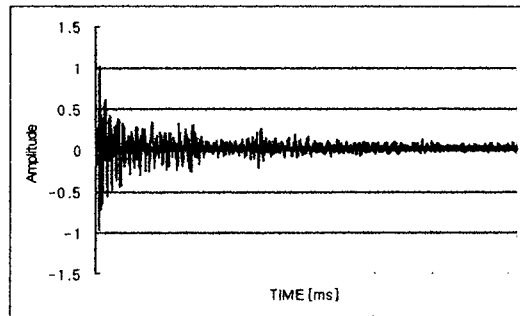


그림 6. 실측된 전형적인 음향방출신호

3. 변압기 부분방전시 열화정도에 따른 음향방출신호의 패턴

(1) 변압기 부분방전시 발생된 음향방출신호

① 열화 초기신호

열화초기 음향방출신호의 패턴으로서 그림 7에서 나타내고 있다. 음향방출 열화 초기신호는 중기 및 말기신호에 비하여 발생 펄스진폭이 크고, 발생신호의 duration time이 상대적으로 길기 때문에 excel상에서 나타내기 쉬운 정도인 16384포인트만으로 나타내고 있다. 음향방출 파형은 지수함수적인 형태이지만, 말기의 음향방출신호보다 좀더 완만한 지수함수 형태의 신호가 다수의 신호형태로 표현되고 있다.

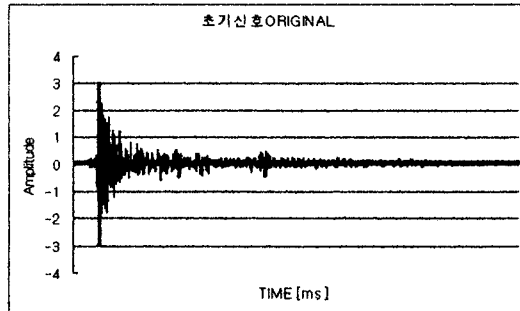


그림 7. 변압기 부분방전시 열화초기의 음향방출신호

② 열화말기신호

열화말기 음향방출신호패턴으로서 그림 8에서 나타내고 있다. 열화의 말기신호는 초기에 비하여 진폭이 낮고, 펄스의 duration time도 극히 짧은 시간동안의 신호로서 단발성의 펄스가 다수의 신호의 특징으로 나타나고 있다. 역시 지수함수적인 펄스의 형

태를 이루고 있지만 초기에 비하여 기울기가 더욱 큰 지수함수의 형태를 가진 신호로서 나타내고 있다.

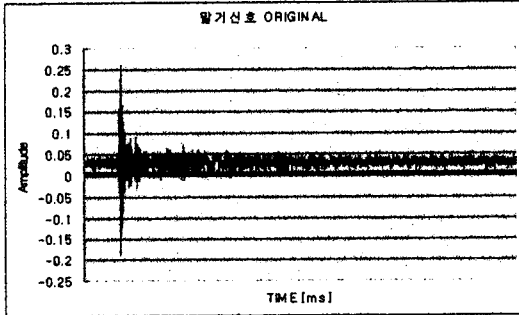


그림 8. 변압기 부분방전시 열화말기의 음향방출신호

③ 정상신호

전압을 인가하지 않은 상태에서의 신호로서 펄스와 펄스발생 시간동안의 신호로서 정상신호라고 부른다.

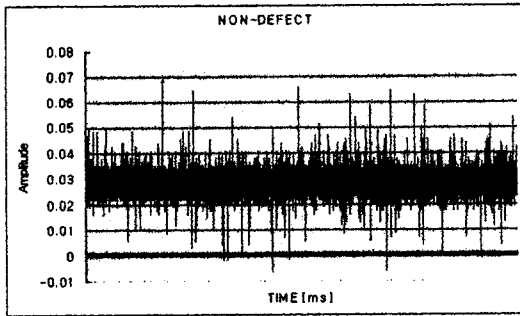


그림 9. 전압을 인가하지 않은 상태의 신호(정상신호)

(2) Daubechies' Wavelet Transform의 음향방출 신호의 적용

이산웨이블렛 변환 레벨-3으로서 그림 10에서 나타내었다. 레벨-3은 스케일4에 속한다. 특징추출시 하나의 파일에서 나타낸 신호는 16384포인트인데

$$\frac{16384}{2^3}$$

DWT의 Level-3으로 하면 2³ 개의 2048포인트의 Zero Cross의 Positive값을 재배열하여 각 통계파라미터에 적용하였다.

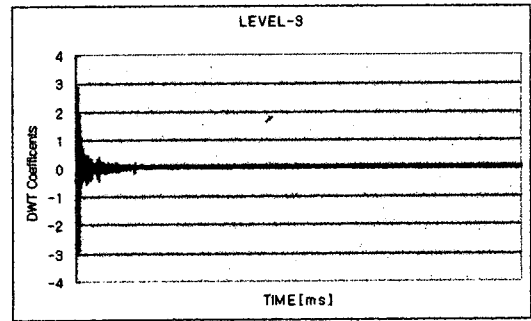


그림 10. Doubechies 이산 웨이블렛 레벨-3

4. 신경망 (Neural Network) 회로에 적용 - 열화 추정

(1) 역전파 알고리즘(Back Propagation)

본 연구에 사용된 신경망은 삼층의 구조를 사용할 것이다. 구조는 그림 11에서 나타내었다. 하나의 Input Layer와 하나의 Hidden Layer 그리고 하나의 Output Layer이다. 그리고 지도방법(Supervised Manner)에 따라 훈련이 이루어진다. 다층 퍼셉트론을 훈련하기 위해서 사용된 알고리즘은 역전파 알고리즘을 사용하게 된다. 그것은 원하는 출력값과 신경망에 특별한 입력에 대한 실제적인 출력사이의 Mean-Squared Error를 최소화하기 위해서 설계된 반복변화 알고리즘이다.

① Architecture

웨이블렛이 신경망의 전처리로서 이용되어졌고, 웨이블렛 레벨-3으로 변환한 결과 스케일-4에 해당된 2048포인트의 Zero Cross의 상부(Positive)값을 통계적인 파라미터인 왜도와 첨도를 구하게 된다. 이 두 개의 파라미터가 열화초기, 열화말기, 정상상태에 각각 입력벡터로서 신경망의 입력으로 이어진다.

② Training

한 신경망의 훈련에 참가할 입력신호의 파일 수는 300개의 훈련벡터(Training Vector)가 이용되었다. 원하는 출력은 초기열화상태는 0, 말기열화상태는 0.5, 그리고 정상상태는 1이다. Sum of Square Error(SSE)목표는 최대의 인식률을 갖도록 한다.

③ TEST

측정자료는 초기상태 신호들 중 20개, 중기상태 신호들 중 20개, 정상상태 신호들 중 20개 파일을 포함하고 있다. 이 자료는 훈련과정에 포함되지 않은 자료이다. 하나의 신경망에 두 가지 경우 입력에 대한 출력을 제공근화 한 값이 변압기의 열화상태를 진단 할 수 있다고 생각한다.

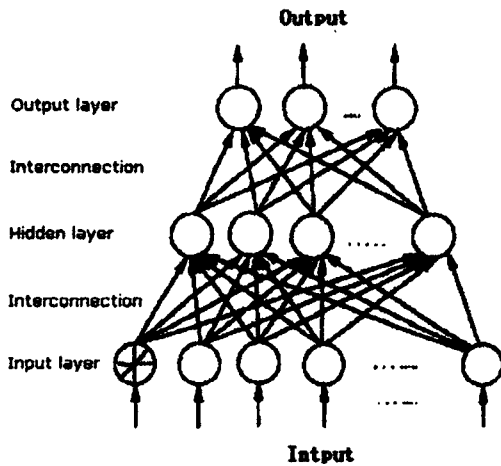


그림 11. 다층 퍼드백 신경망의 구조

IV. 결론

본 연구에서 다음 같은 결론을 얻을 수가 있었다. 변압기내의 부분방전 발생시 열화정도를 진단하기 위해서 신경망과 Wavelet분석하는 방법을 나타내었다. 역전파 알고리즘을 이용하여 전처리 과정으로 이산웨이블렛 변환을 이용하였다. 전처리 과정으로 이산웨이블렛을 사용하면 신경망의 구조를 단순화할 수 있고 훈련속도도 가속할 수가 있다. 결합신호(열화초기, 열화말기), 정상신호를 식별하기 위해서 visual C++6.0을 사용하였다. 신경망의 입력자료는 전처리 과정에서 통계적인 파라미터인 예도와 침쇄도를 입력벡터로 하여 훈련과 측정의 과정을 실시하였다.

감사의 글

이 연구는 한국전력공사 지원에 의하여 기초전력 공동연구소 주관(관리번호 99-지-02호)으로 수행되었으며 이에 감사 드립니다.

참고 문헌

- [1] Santosh Kumar Pandey and L. Satish, Multiresolution Signal Decomposition: A New Tool For Fault Decton in Power Transformers During Impulse Tests , IEEE Transaction on Power Delivery ,Vol.13, No.4,pp1194-1200, 1998
- [2] Stefan Pittner and Sagar V.Kamarthi , Feature Extraction From Wavelet Coefficients for Pattern Recognition Tasks ,IEEE Transaction on Pattern Analysis and Machine Intelligence, Vol.21, NO.1,pp 83-88,1999
- [3] Xiaoli Li , Shen Dong, Zhejun Yuan, Discrete Wavelet Transform for Tool Breakage Monitoring , International Journal of Machine Tools & Manufacture 39(1999) 1935-1944
- [4] E. Gulski and F. H. Kreuger, "Computer aided recognition of discharge sources", IEEE Trans. Elect. Insul. Vol. 27, 82-92, 1992.
- [5] R. E. James and B. T. Phung, "Development of computer-based measurements and their application to PD Pattern analysis", IEEE Trans. Die. and Elect. Insul. Vol. 2, 838-856, 1995.
- [6] C. Sidney Burrus and Ramesh A. Gopinath and Haitao Guo, "Introduction to Wavelets and Wavelet Transforms : A Primer", Prentice-Hall, 1997.
- [7] Gerald Kaiser, "A Friendly Guide to Wavelets", Springer-Verlag, 1994.
- [9] Stephane G. Mallat, "A Wavelet Tour of Signal Processing", Academic Pr., 1998.